

VÝVOJ KOLOIDNÍCH ZÁKALŮ SVĚTLÉHO LEŽÁKU BĚHEM STÁRNUTÍ

PETR SLADKÝ, HANA CÍSAŘOVÁ, MIROSLAV DIENSTBIER, PETR GABRIEL, Univerzita Karlova v Praze,
Matematicko-fyzikální fakulta, Katedra chemické fyziky a optiky

1 ÚVOD

Světlé ležáky plzeňského typu jsou vesměs stáčeny do lahví jiskrně filtrovány a stabilizovány tak, že vykazují pouze koloidní (makromolekulární) zákalu převážně bílkovino-tříslovinného (P-T) původu. Vývoj P-T koloidních zákalů piva v intaktní lahví v závislosti na čase a teplotě je potom významnou analytickou mírou probíhajícího procesu jeho stárnutí [1, 2]. Normativně je dle pivovarských analytických konvencí [3–6] doporučeno měřit vývoj zákalu piva pomocí (elastického) rozptylu světla v nefelometrickém uspořádání pod úhlem 90° v definovaném teplotním a časovém režimu.

Obecně se však v průběhu stárnutí piva mění jak počet, tak i velikost koloidních zákalových částic [7–10]. Tyto změny jsou částečně zvratné, zvláště v případě tzv. chladového zákalu, který se tvoří ve stárnoucím pivu při ochlazení k teplotám okolo 0 °C [11].

Doporučené nefelometrické metody stanovení zákalu piva [3–6] bohužel neumožňují získat současně informaci o změně počtu a rozměru částic koloidních zákalů jako funkci teploty a času, což je principiálně důležité pro bližší poznání procesu koloidního stárnutí piva, a je jednou z příčin malé analytické účinnosti většiny stávajících předpovědních testů, jak je patrné z existence velkého počtu jejich empirických variant [12–17].

K získání informace jak o změně počtu částic, tak i jejich rozměru v čase, je na základě obecné teorie rozptylu světla v makromolekulárních roztocích [18, 19], tak i dřívějších praktických poznatků o rozptylu světla v pivu [20–22] a nedávných měření zákalů v průběhu provozní křemelinové filtrace [23, 24], nutno použít současných měření zákalů alespoň ve dvou úhlech rozptylu světla, tj. vedle nefelometrického směru 90° ještě i měření ve směru dopředného rozptylu, např. v intervalu úhlů 10° až 25°.

V souladu s teorií i praxí lepší rozlišení hrubých částic rozměrů nad 1 µm (kvásnic, křemeliny, silikagelu, PVPP atp.) od submikronových částic koloidů ve filtrovaném pivu poskytují současná nefelometrická měření 90° spolu s měřením zákalu při menších úhlech 10°–15°, než měření pod úhlem 25°. U typu zákaloměrů měřících pod úhly 90° a 25° je použití úhlu 25° zvoleno z konstrukční nouze umístit detektor dopředného rozptylu blíže k ose primárního svazku svazku 0° než na úhel 25°.

Laboratorní měření zákalu piva ve dvou úhlech rozptylu světla přímo v lahvích byla nejdříve prováděna pomocí jednoho

přístroje v rozdílné době, tj. přístroj umožňoval podle nastavení programu buď změřit zákal v nefelometrickém směru, nebo ve směru dopředného rozptylu, nikoliv však současně [25].

Současná měření vývoje zákalů piva ve dvou úhlech rozptylu světla přímo v lahvích s automatickou korekcí na rotaci anizotropii a barvu lahví byla po prvé provedena nedávno [29] autory současné práce, s cílem zlepšit stávající metody předpovědi koloidní stability piva tepelným šokováním [26–28, 15].

Cílem této práce je uvést výsledky našich měření vývoje zákalů zvláště v mírně stabilizovaných ležácích během stárnutí přímo v lahvích a diskutovat je ve světle nedávno proponovaných modelů mechanismu interakcí proteinů a polyfenolů v různých typech nápojů [30–32, 35–38, 40].

Uvedené grafy současného vývoje hodnot nefelometrického a dopředného zákalu jsou svého druhu prvním přímým důkazem přechodných změn rozměrů P-T koloidních částic chladového zákalu při přeměně na trvalý zákal v procesu stárnutí při různých teplotách, což má zásadní význam pro zpřesnění předpovědi trvanlivosti piva v lahvích bez nutnosti jejich otevření, jakož i pro komplexní optimalizaci předcházejících technologických postupů zpracování výchozích surovin a meziproduktů, vedoucích k zajištění požadované koloidní stability finálního produktu.

2 MATERIÁL A METODY

2.1 Vzorky piva

Vzorky světlého lahvového piva plzeňského typu (12% ležák, 5% obj. alkoholu, obchodní šárka pro tuzemsko) byly získány v maloobchodě. Pivo bylo mírně stabilizováno regenerovatelným

PVPP a pasterováno na trvanlivost 6 měsíců (dle etikety). 40 lahví vzorků z jedné šárky bylo získáno 7 dní po stárení, rovněž dle údajů z etikety. Předtím byly pravděpodobně transportovány a uloženy při teplotě přibližně 20 °C. Pro potřebu této studie nebyla provedena podrobnější analýza složení měřených vzorků.

2.2 Definice měřených hodnot zákalů

Pro hodnocení vývoje nefelometrického zákalu piva v průběhu stárnutí jsme použili hodnoty tzv. celkového, chladového a trvalého zákalu, definované podle teploty měření, v souladu se zavedenými metodami pivovarských analýz [3–6]. Dle uvedené definice je chladový zákal dán rozdílem hodnoty celkového a trvalého zákalu.

Pro výzkumné účely této práce jsme nedodržovali uzanční teploty měření celkového resp. trvalého zákalu 0 °C resp. 20 °C, ale pro zesílení efektu jsme chladové zákaly inkubovali po dobu 24 hodin při teplotě -4 °C a rozpouštěli je až na teplotu 40 °C.

V souladu s uvedenou definicí jsme měřili současně i hodnoty dopředného zákalu. V dalším textu a grafech budeme měřené hodnoty zákalů označovat symbolem Z a rozlišovat indexem úhlu měření.

2.3 Volba časových a teplotních režimů stárnutí

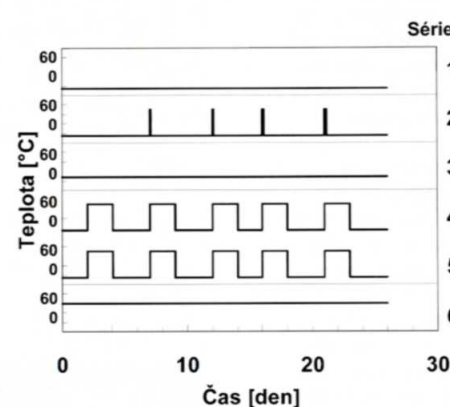
V této studii jsme zvolili šest reprezentativních režimů tepelného stárnutí pro celkem 36 lahvových vzorků dané šárky, rozdělených po šesti do jednotlivých tepelných režimů, charakterizovaných časovými průběhy teplot stárnutí, ukázanými schematicky na obr. 1. Na konci chladové fáze tepelných impulsů režimů 4, 5 a 2 charakteru tepelného šokování bylo rovněž na postupně odebíraných vzorcích z odpovídající série provedeno měření změn zákalů.

V případě tepelných režimů stárnutí vzorků při různé stálé teplotě byly den před hodnotícím měřením vývoje zákalů příslušné vzorky podrobny po dobu 24 hodin vybuzení chladového zákalu skokem na rovnovážnou teplotu -4 °C.

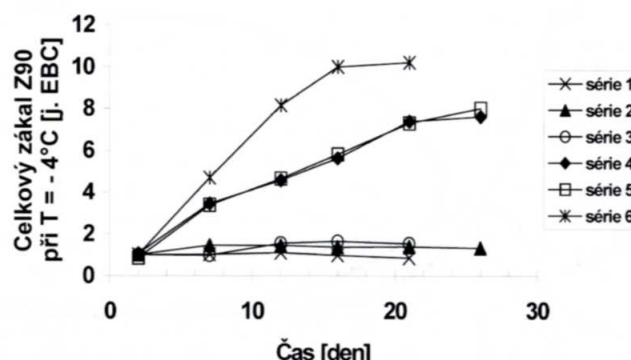
2.4 Přístroje a pomůcky

Tepelné stárnutí vzorku v různých teplotních režimech dle obr. 1 a inkubace měřících chladových šoků byly prováděny v oddělených kapalinových termostatech (LAUDA MS 20 a RMS 20).

Pro současná měření zákalů ve dvou úhlech rozptylu světla přímo v lahvích jsme použili osvědčený dvouúhlový la-



Obr. 1 Časové diagramy šesti zvolených tepelně-teplenných režimů stárnutí 6 sérií po 6 vzorcích studovaného piva



Obr. 2 Vývoj hodnot celkového zákalu v konvenčním nefelometrickém směru (Z90) ve zvolených režimech stárnutí resp. odpovídajících sériích vzorků 1 až 6 studovaného piva

boratorní zákalomér vlastní konstrukce Mod. MZN 93-MC2 [27, 28].

Teplota byla vesměs měřena Pt odporovými teplotními čidly vlastní konstrukce, vestavěnými v systému použitých zákalomérů [27, 28].

3 VÝSLEDKY A DISKUSE

3.1 Hodnocení stárnutí piva na základě vývoje nefelometrického zákalu

Koloidní stárnutí piva se tradičně hodnotí pouze na základě vývoje hodnot nefelometrických zákalů s časem. Vývoj celkového nefelometrického zákalu (Z90) našich vzorků, stárnoucích při různých teplotách resp. tepelných dávkách dle algoritmu na obr. 1, je ukázán pomocí souhrnných grafů na obr. 2.

S klesající teplotou, jak ukazuje obr. 2, ale i s klesající dávkou tepla vynucujícího stárnutí, klesá i rychlosť růstu nefelometrického zákalu a při ochlazení pod 0 °C dosahuje nejmenších hodnot, které jsou pomocí starších typů zákalomérů, používaných dosud ve většině pivovarských laboratoří, s malou citlivostí a rozlišením pod 0,01 j.EBC prakticky neměřitelné.

V závislosti na teplotním režimu lze, zvláště na grafech 1, 2 a 3 nefelometrických zákalů stárnutí vzorků piva ze série nízkoteplotních režimů, pozorovat určitou lag-fázi, která se ve vysokotepelných režimech intenzivního vynuceného tepelného stárnutí velmi zkracuje, a při měření méně stabilizovaných piv, podobně jako v případě našich vzorků, se pozoruje téměř ihned již růstová fáze nefelometrických zákalů (obr. 2, série grafů 4–6).

3.2 Porovnání současného vývoje nefelometrických a dopředných zákalů různě intenzivně stárnoucího piva

Na rozdíl od nefelometrického zákalu dosahuje vývoj hodnot dopředného zákalu maxima v určité době stárnutí, která se zkracuje s rostoucí teplotou tepelné dávky, jak je patrné ze srovnání vývojo-

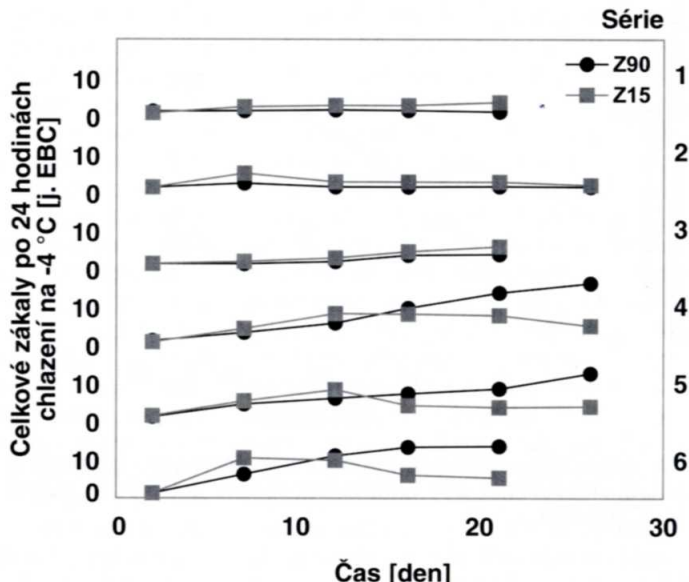
vých grafů obou zákalů Z90 a Z15 v různých režimech stárnutí 1 – 6, ukázaných na obr. 3. Z grafů vývoje zákalů vzorků série 6,

stárnoucích při nejvyšší zvolené teplotě (40 °C), nastupují maximální hodnoty dopředného zákalu v nejkratší době, zatímco nefelometrický zákal pokračuje v monotoném růstu. I přes malou hustotu naměřených bodů lze usuzovat, že pravděpodobně v oblasti maxima vývoje celkového dopředného zákalu dochází i k ukončení určité lag-fáze vývoje nefelometrických zákalů, projevující se zvýšením rychlosti jejich růstu, jak lze v náznacích pozorovat v režimech intenzivního stárnutí našich vzorků na obr. 3.

3.3 Viditelný zlom chladového zakalení stárnoucího jiskrně zfiltrovaného piva

Jak ukazují výsledky našich měření, uvedené na obr. 3, k vrzrustu dopředných hodnot chladového resp. celkového zákalu piva dochází pravděpodobně na konci lag-fáze rychleji než u odpovídajících nefelometrických hodnot. V případě nestabilizovaných či mírně stabilizovaných piv se to děje prakticky skokem, a to již i při laboratorních teplotách stárnutí.

Z teorie rozptylu světla i z pivovarské zkušenosti je známo, že zákalы piva, tvořené nadmikronovými částicemi, jsou již dobře viditelné i v průhledu, což odpovídá měření zákalů v dopředném směru rozptylu světla i v transmisní turbidimetrii, zatímco submikronové koloidní a makromolekulární částice ostře filtrovaného piva tvoří v průhledu tzv. neviditelný zákal, který lze pozorovat zrakem jako Tyndallův jev teprve při osvětlení intenzivním svazkem světla z boku, nejlépe pod pravým úhlem, tj. v nefelometrickém uspořádání, podobně jako v případě objektivních nefelometrických měření pomocí zákaloměru.

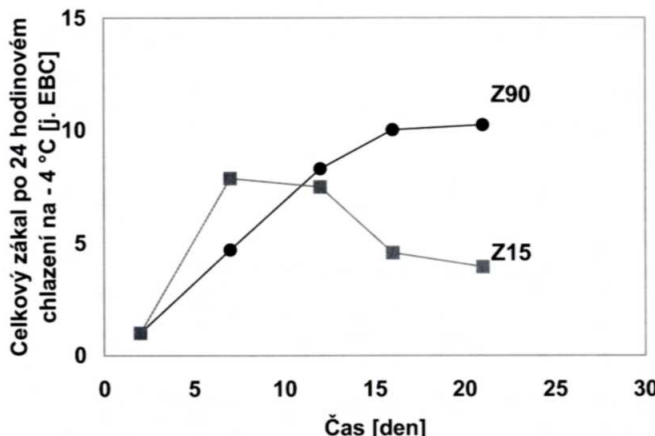


Obr. 3 Porovnání současného vývoje obou hodnot nefelometrických i dopředných zákalů v jednotlivých režimech stárnutí vzorků studovaného piva sérií 1 až 6

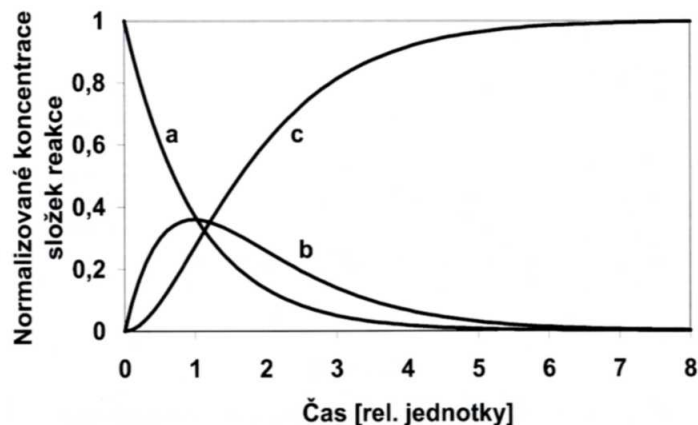
Výsledky našich současných dvouúhlových měření tedy objektivně objasňují z pivovarské zkušenosti známý jev chladového „zalomení“, či tzv. „cold break“ zoxidované mladiny resp. mladého piva a zcela přirozeně, podstatně však méně intenzivně, pozorovatelný i u stárnoucího resp. zoxidovaného filtrovaného piva (viz např. [42–44]) a naopak tzv. neviditelný zákal vyvolaný v osře zfilrovaném pivu pouze přítomností makromolekul a submikronových koloidů. Jejich maximální výchozí rozměry jsou přirozeně určeny tzv. hranou použité filtrace, která by měla být u moderní křemelinové filtrace menší než jeden mikrometr. Naopak, částice chladového zákalu mohou podle plnosti málo stabilizovaného stárnoucího piva snadno dosáhnout již sedimentujících rozměrů od několika jednotek až po desítky mikrometrů.

3.4 Objevení přechodného maxima dopředného chladového zákalu v průběhu stárnutí piva

Jak je patrné zvláště z průběhu grafů 4, 5 a 6 na obr. 3, objevila naše současná dvouúhlová měření zákalů v průběhu stárnutí piva vznik přechodného maxima dopředného chladového resp. celkového zákalu při současně rostoucích nefelometrických hodnotách. Uvedené výsledky jsou přímým důkazem přechodných změn rozměrů zákalotvorných částic protein-polyfenolových komplexů piva, poprvé ukazujícími na skutečnost, že vzniku trvalých koloidních zákalů předchází dočasný vzrůst velikosti částic P-T komplexů chladového zákalu do nadmikronových rozměrů a jejich opětovné rozpuštění v procesu pokračujícího stárnutí piva. Uvedené poznatky jsou o to významnější, že jsou v plném



Obr. 4 Současný vývoj obou hodnot nefelometrických i dopředných zákalů studovaného piva během intenzivního stárnutí při teplotě 40 °C (série 6)



Obr. 5 Schematické znázornění kvalitativního průběhu koncentrací u následné reakce $A \rightarrow B \rightarrow C$, popisující v prvním přiblížení vývoj chladových zákalů piva v průběhu stárnutí: a – koncentrace jednoduchých flavanoidů, b – koncentrace částic dopředného chladového zákalu, c – koncentrace částic nefelometrického chladového zákalu

souhlasu s často opomíjenými výsledky prací Claessona a Sandegrena [7, 8], kteří jako první zviditelnili koloidní částice P-T zákalů elektronovým mikroskopem a upozornili na možnost změn jejich rozměrů a morfologie v procesu stárnutí piva, jakož i naznačili jednoduchý model prahové kinetiky.

Z dřívějších prací prof. Chapon a kol. [10, 11, 30–32] a později dalších autorů [33–46] o interakcích proteinů a polyfenolů piva je známo, že především pouze některé z nich, jako např. proteiny a polypeptidy bohaté na prolin [34–41] a jednoduché kondenzující flavanoidy [1, 2, 14, 45, 46] vytvářejí s rostoucí afinitou částicové komplexy, které se s přibývající koncentrací na straně jedné nebo druhé složky mohou opět rozpouštět [30–32, 38–40]. Uvedené jevy názorně demonstруje např. známý Chaponův titrační test srážení tzv. citlivých proteinů gallotanninem nebo, ještě názorněji, test srážení rozpustného PVP z roztoku kondenzovanými polyfenoly – tzv. tannoidy piva. Podle množství tannoidů v pivu dojde na křivce nefelometrické titrace při určité ekvivalentní dávce dodaného titrantu v podobě roztoku PVP k vytvoření maxima nefelometrického zákalu. Po jejím překročení se precipitované komplexy tannoidů piva a PVP opět rozpouštějí [30–32].

V analogii s uvedenými jevy můžeme kvalitativně vysvětlit i námi pozorované maximum chladového resp. celkového zákalu v dopředném směru rozptylu světla. V průběhu stárnutí piva roste v důsledku oxidační kondenzace koncentrace a zákalotvorná afinita jednoduchých flavanoidů [45], které se vážou k molekulám zákalotvorných proteinů prostřednictvím vodíkových můstků v místech prolinu, přičemž dochází s největší pravděpodobností i k tvorbě hydrofobních kapes [34–38, 45] a podle našeho současného názoru i uzavřených P-T koloidních micel.

Dosáhne-li v procesu stárnutí piva koncentrace vznikajících zákalotvorných polyfenolů určité vazební ekivalence s přítomnými zákalotvornými proteiny resp. polypeptidy piva, dojde k maximu precipitace a pravděpodobně i nízkou teplotou umocněné koagulaci původně makromolekulárních a submikronových částic do nadmikronových rozměrů chladového resp. celkového zákalu, indikovaných převažujícím dopředným rozptylem světla. Další zvýšení koncentrace zákalotvorných polyfenolů v procesu stárnutí piva nad „ekvivalentní“ hodnoty zákalotvorných bílkovin vede k postupnému „rozpuštění“ nadmikronových koagulátů chladového zákalu zpět na postupně rostoucí částice trvalého zákalu až nadmikronových sedimentujících rozměrů z původně submikronových a makromolekulárních rozměrů částic čerstvě zfiltrovaného piva.

Uvedený kvalitativní model lze ukázat využitím postupů tepelného stárnutí pro piva konkrétní výrobní technologie a výchozích fyzikálně-chemických vlastností (druh, složení, pH atp.) pomocí současných dvouúhlových měření zákalů kvantifikovat resp. „nacejchovat“ a využít k podstatně přesnejší předpovědi fyzikální resp. koloidní stability, než na základě dosud používaných měření zákalů pouze v nefelometrickém směru.

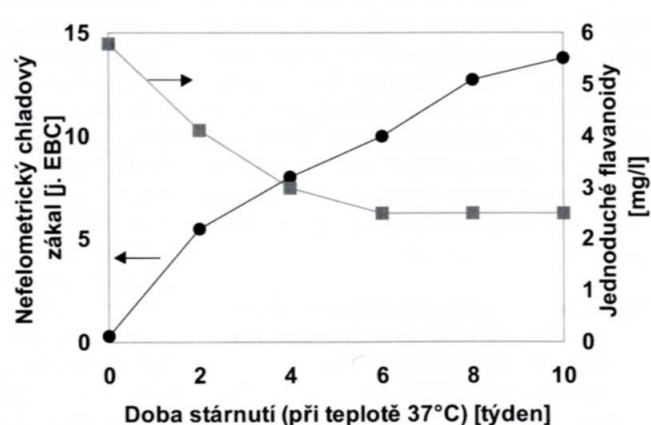
Kvantifikací zákalotvorných interakcí vybraných soustav proteinů a polyfenolů, modelujících tvorbu koloidních zákalů piva resp. i dalších nápojů na bázi přírodních extraktů (ví-

no, možt) se nedávno zejména zabývali Siebert a kol. [38–41]. Jejich modelové představy jsou v dobrém kvalitativním souhlasu s námi učiněnými poznatkami o přechodném růstu rozměrů zákalotvorných částic protein-polyfenolových komplexů s přibývající koncentrací zákalotvorných polyfenolů v procesu stárnutí piva. Modelové studie Siebertha a kol. se bohužel omezuje pouze na rovnovážný vztah mezi finálními rozměry zákalotvorných částic a velikostí již vytvořeného trvalého zákalu, a to pouze v nefelometrickém směru.

Pro hlubší teoretické poznání mechanismu tvorby koloidních zákalů piva a zvláště pro praktické využití těchto poznatků k zlepšení předpovědi fyzikální stability má velký význam i analýza kinetiky procesu, kterou naznačíme v následujícím textu.

3.5 Popis kinetiky tvorby zákalů stárnucího piva následnými nezvratnými reakcemi

Vývoje hodnot celkového nefelometrického (Z90) a dopředného (Z15) zá-



Obr. 6 Úbytek obsahu jednoduchých flavanoidů (●) a růst celkového nefelometrického zákalu (■) během zrychleného stárnutí světlého piva typu ležák při teplotě 37 °C podobného našim vzorkům. Převzato z práce McMurrough a kol. [46]

kalu intenzivně stárnoucího piva, vyne-
sené v závislosti na čase na obr. 4, jsou
v prvním přiblížení nápadně podobné ča-
sovému průběhu koncentrací konco-
vého produktu a meziproduktu dvou nás-
ledních nezvratných reakcí 1. řádu
ukázaných pro kvalitativní srovnání na
obr. 5. Jestliže naše výsledky formálně
doplňme o výsledky měření poklesu vý-
chozí koncentrace jednoduchých flava-
noidů získané McMurroughem a kol. [46]
spolu se změnami koncentrace tannoidů
a hodnotami růstu nefelometrického
chladového zákalu v stárnoucím pivu
podobnému našim vzorkům (obr. 6),
stává se naše premisa o tvorbě trvalého
zákalu stárnoucího piva v prvním přiblí-
žení následními nezvratnými reakcemi
velmi pravděpodobnou, přičemž první
reakci je tepelně aktivovaná kondenzace
jednoduchých flavanolů do oxidované
zákalotvorné podoby [45].

Přirozeně lze průběh vývoje koncent-
race reakčního meziproduktu v podobě
nadmicronových částic chladového zá-
kalu pozorovat dopředným rozptylem
světla jen za nízkých teplot, přičemž lze
snížení jejich rozpustnosti a zvýšení pre-
cipitace podpořit jak známo přídavkem
dalších několika procent alkoholu [11].

3.6 Mechanismus tvorby částic protein-polyfenolových permanentních zákalů piva

Molekulární interpretace druhé fáze resp. následné nezvratné reakce vedoucí k postupnému vzniku trvalých, tj. při laboratorních teplotách nerozpustných koloidních zákalů je podstatně složitější, neboť vedle teploty záleží jak na pH piva [12], tak i na konkrétních koncentracích a molekulární podobě interagujících P-T zákalotvorných složek, jak naznačují nedávné modelové studie vlivu koncentrace a pH na rovnovážné rozměry častic gliadin-tanninových permanentních zákalů Sieberta a kol. [41].

V případě reálných piv zůstává otevřenou otázkou vliv rozpustěných polysacharidových složek zbytkového extraktu na tvorbu a zvláště morfologii zákalových častic P-T komplexů v průběhu stárnutí. S určitou pravděpodobností mohou plnit úlohu smáčedla na povrchu častic P-T koloidů, jako je tomu u pivní pěny (viz např. [48]). Vůbec poznatky o vztahu mezi P-T zákalotvornými a pěnotvornými koloidy jsou dosud neucelené a často rozporuplné [1], jak co se týče složení, tak i podstaty interakcí a spektra molekulárních hmotností zúčastněných makromolekulárních složek [47–49].

Unikátní pionýrské snímky, pořízené elektronovým mikroskopem před více než třiceti lety Sandegrenem a Claesensem [7, 8], nasvědčují tomu, že P-T koloidní částice chladových zákalů piva jsou micelární povahy s převažující kulovou symetrií a možností jak intramichelár-

ního růstu, tak i růstu shlukováním, resp. flokulací jednotlivých micel ve větší celky.

Naše současná měření chladových zákalů piva v dopředném a nefelometrickém směru rozptylu světla pak naznačují i možnost existence jevu zpětného rozpadu, resp. deflokulace nadmicronových shluků výchozích submicronových P-T micel chladového zákalu s rostoucí koncentrací zákalotvorných polyfenolů, tj. oxidovaných flavanolů, doprovázenou poklesem hodnot dopředného chladového zákalu a jejich postupné (intramicelární) zvětšování nad hranici jednoho mikrometru s přibývajícím podílem kovalentní vazby. O tom svědčí trvale rostoucí hodnoty nefelometrických zákalů stárnoucího piva. V další fázi procesu stárnutí dorůstají P-T částice permanentního zákalu „sedimentačních“ rozměrů několika jednotek až desítek mikrometrů a postupně vytvázejí na dně lahve úsadu, obvykle spolu s dalšími „zestárlými“ koloidy piva, zvláště polysacharidového původu.

Je třeba zdůraznit, že díky velmi různorodému surovinnému i technologickému původu reálných piv, jsou kinetika a mechanismus druhé fáze tvorby P-T koloidních zákalů piva a souvisejících finálních rovnovážných hodnot měřených zákalů mimořádně složité, což vy-
světuje stále velkou nejistotu předpovědi doby fyzikálně-chemické trvanlivosti a podněcuje další zkoumání s nezbytnou účastí základního výzkumu pomocí fyzikálních i chemických modelových soustav.

4 ZÁVĚR

Poprvé přímo v uzavřených lahvích byl systematicky studován vývoj P-T koloidních zákalů typického, střednědobě stabilizovaného 12% světlého ležáku v průběhu různých teplotně-tepelných režimů stárnutí s možností přímého sledování změn rozměrů zákalových častic pomocí současných měření ve dvou úhlech rozptylu světla – konvenčním nefelometrickém (90°) a dopředném ($10\text{--}15^\circ$).

Bыlo objeveno a prokázáno, že v průběhu stárnutí piva dochází k přechodnému růstu P-T koloidních častic chladového zákalu z výchozích submicronových do nadmicronových rozměrů, indikovaných maximem hodnot chladového zákalu, měřených v dopředném směru rozptylu světla v průběhu stárnutí piva.

Pozorovaný jev lze kvalitativně vy-
světlit růstem poměru koncentrace resp. affinity zákalotvorných polyfenolů, vznikajících kyslíkem katalyzovanou kon-
denzací z jednoduchých flavanoidů, vůči koncentraci zákalotvorných bílkovin, v souhlase s nedávnými poznatkami o me-
chanismu protein-polyfenolových inter-
akcí v roztoku piva a v modelových sou-
stavách [1, 2].

Získané výsledky rovněž naznačují, že tvorbu trvalých P-T koloidních zákalů lze v prvním přiblížení pravděpodobně popsat dvěma následnými nezvratnými reakcemi, přičemž rychlosť první z nich je určena konverzí jednoduchých flavanolů do zákalotvorně afinní podoby indikované křivkou kinetiky vývoje dopředného chladového zákalu a druhá je dána rychlosťí růstu hodnot chladového resp. trvalého nefelometrického zákalu za lag-fází.

I když dosud neplně objasněný molekulární mechanismus tvorby trvalých koloidních zákalů piva je podstatně složitější, lze navržený model kinetiky jejich tvorby na základě dvou následných nezvratných reakcí fitovat resp. „nacejchat“ pro konkrétní výrobní druhy piv ukázanými postupy a použít k zpřesnění předpovědi procesu koloidního stárnutí a pro komplexní optimalizaci technologií vedoucích k dosažení požadované fyzikálně-chemické, případně i chuťové stability finálního produktu.

V neposlední řadě lze získané výsledky využít k dalšímu základnímu výzkumu poznatků o tvorbě koloidních zákalů jak modelových soustav, tak i komerčních piv a meziproduktů.

Literatura:

- [1] BAMFORTH, Ch.W.: J. Am. Soc. Brew. Chem. **57** (3), 1999, s. 81
- [2] SIEBERT, K.J.: J. Agric. Food Chem. **47**, 1999, s. 353
- [3] Analytica EBC, Brauerei und Getränke – Rundschau, Method 9.29, Haze in Beer: Calibration of Haze Meters, Method 9.30, Prediction of Shelf-Life of Beer, Verlag Hans Carl, 5th edition, 1997
- [4] Brautechnische Analysen Methoden, Band II, 2.19 Trübungsneigung, 3. Aufgabe, ed. H. Pfenniger, Selbstverlag der MEBAK, D-85350 Freising-Weihenstephan, 1993, s. 155
- [5] Institute of Brewing Methods of Analyses – The Institute of Brewing, London, Jan., 1997
- [6] American Society of Brewing Chemists: Methods of Analysis, 9th ed. Beer – 27, Physical Stability, The Society, St.Paul, MN, 1992
- [7] CLAESSEN, S., SANDEGREN, E.: Proc. Eur. Brew. Con. Cong., Bruxelles, 1963, Elsevier, Amsterdam, 1964, s. 221
- [8] CLAESSEN, S., SANDEGREN, E.: Proc. Eur. Brew. Con. 12th Cong., Interlaken, 1969, Elsevier, Amsterdam, 1969, s. 339
- [9] CLAESSEN, S., SANDEGREN, E.: Proc. Eur. Brew. Con. 14th Cong., Salzburg, 1973, s. 343
- [10] CHAPON, L.: J. Inst. Brew. **99**, 1993, s. 49
- [11] CHAPON, L., CHEMARDIN, M.: Proc. Eur. Brew. Con., Madrid, 1967, s. 389
- [12] KOLBACH, P., KREMKOW, C.: Monatschrift für Brauerei **22**, 1969, s. 89
- [13] BATCHVAROV, V., CHAPON, L.: Monatschrift für Brauwissenschaft **38**, 1985, s. 331
- [14] McMURROUGH, I., et al.: J. Am. Soc. Brew. Chem. **50**, 1992, s. 67
- [15] ŠAVEL, J., PROKOPOVÁ, M.: Kvasny Prum. **38**, 1992, s. 289

- [16] O'NEILL, M.: Brew. Guard. **125** (2), 1996, s. 54
- [17] HEGARTY, P.K., HARTLAND, T.: Proc. Eur. Brew. Noc. Cong., Cannes, 1999, s. 209
- [18] FABELINSKIJ, I.M.: Plenum Press, New York, 1968
- [19] THORNE, R.S.W., SVEDNSEN, K.: J. Inst. Brew **68**, 1962, s. 257
- [20] WEBSTER, R.D.J.: Proc. Eur. Brew. Con. Cong., London, 1983
- [21] BUCKEE, G.K., MORRIS, T.M., BAILEY, T.P.: J. Inst. Brew. **92**, 1986, s. 475
- [22] MORRIS, T.M.: J. Inst. Brew. **93**, 1987, s. 13
- [23] WACKERBAUER, K., EVERE, H., KAUFMANN, B.: Tech. Q. Master Brew. Assoc. Am. **29**, 1992, s. 73
- [24] KLIMOWITZ, R.J., BYRNES, J.: Brauwelt **134**, 1994, s. 2052
- [25] HUBER, E.: Brewing and Distilling International Sept., 1989, s. 32
- [26] GABRIEL, P., et al.: Kvasny Prum. **40** (7), 1994, s. 203
- [27] SLADKÝ, P., DIENSTBIER, M.: Kvasny Prum. **46** (10, 11), 2000, s. 280 a 321
- [28] SLADKÝ, P., DIENSTBIER, M.: Kvasny Prum. **47** (5, 7-8), 2001, s. 122 a 195
- [29] SLADKÝ, P., DIENSTBIER, M.: Dual angle rotating bottle laboratory hazeme-
- ter MZN 92 – MC2, users manual, published by The Dept. of Chemical Physics and Optics, Faculty of Mathematics and Physics, Charles University, Prague, 1992
- [30] CHAPON, L.: Monatschrift für Brauwissenschaft **46**, 1993, s. 263
- [31] CHAPON, L.: Monatschrift für Brauwissenschaft, Teil 1 **48**, 1995, s. 300, Teil 2 **49**, 1996, s. 12, Teil 3 **49**, 1996, s. 111
- [32] CHAPON, L.: Brewers' Guardian, Dec., 1994, s. 46
- [33] ASANO, K., HASHIMOTO, N.: Rept. Res. Lab. Kirin Brewery Co. **23**, 1980, s. 1
- [34] ASANO, K., SHINIGAWA, K., HASHIMOTO, N.: J. Am. Soc. Brew. Chem. **40**, 1982, s. 147
- [35] OUTTRUP, H., FOGH, R., SCHAUMBURG, K.: Proc. Eur. Brew. Con. 21st Cong., Madrid, 1987, s. 583
- [36] OUTTRUP, H.: Proc. Eur. Brew. Con. 22nd Cong., Zurich, 1989, s. 609
- [37] MONTGOMERY, G. W. G., MORRIS, K. B.: Ferment, 1993, s. 49
- [38] SIEBERT, K. J., TROUKHANOVA, N. V., LYNN, P.Y.: Jour. of Agriculture and Food Chemistry **44**, 1996, s. 80
- [39] SIEBERT, K. J., Lynn, P.Y.: J. Am. Soc. Brew. Chem. **56**, 1998, s. 24
- [40] SIEBERT, K. J.: J. Am. Soc. Brew. Chem. **58**, 2000, s. 117
- [41] SIEBERT, K. J., LYNN, P. Y.: Proc. Eur. Brew. Con. Cong., Budapest, 2001
- [42] MORRIS, T.M.: J. Inst. Brew. **90**, 1984, s. 162
- [43] MORRIS, T.M.: J. Inst. Brew. **92**, 1986, s. 93
- [44] CROMPTON, I. E., HEGERTY, P. K.: Proc. Eur. Brew. Con. 23rd Cong., Lisbon, 1991, s. 625
- [45] REHMANJI, M., et al.: Tech. Q. Master Brew. Assoc. Am. **35**, 1998, s. 95
- [46] McMURROUGH, I., MADIGAN, D., KELLY, R. J.: J. Am. Soc. Brew. Chem. **55** (2), 1997, s. 38
- [47] KANO, Y., KANIMURA, M.: J. Am. Soc. Brew. Chem. **51** (1), 1993, s. 22
- [48] LUSK, L.T., GOLDSTEIN, H., RYDER, D.: J. Am. Soc. Brew. Chem. **53** (3), 1995, s. 93
- [49] ISHIBASHI, Y., et al.: J. Am. Soc. Brew. Chem. **54** (3), 1996, s. 177
- [50] GALES, P.W.: J. Am. Soc. Brew. Chem. **58** (3), 2000, s. 101

Lektoroval: Doc. Ing. J. Šavel, CSc.
Do redakce došlo 18. 10. 2001

Sladký, P. – Císařová, H. – Dienstbier, M. – Gabriel, P.: Vývoj koloidních zákalů světlého ležáku během stárnutí. Kvasny Prum. **47**, 2001, č. 11-12, s. 322–327.

Poprvé byl přímo v lahvích systematicky studován vývoj P-T koloidních zákalů typického, střednědobě stabilizovaného 12% světlého ležáku v průběhu různých teplotně-tepelných režimů stárnutí s možností přímého sledování změn rozměrů zákalových částic současným měřením ve dvou úhlech rozptylu světla – konvenčním nefelometrickém (90°) a dopředném (10–15°).

Bylo objeveno a prokázáno, že v průběhu stárnutí piva dochází k přechodnému růstu P-T koloidních částic chladového zákalu z výchozích submikronových do nadmikronových rozměrů, indikovaných maximem hodnot chladového zákalu, měřených v dopředném směru rozptylu světla v průběhu stárnutí piva.

Pozorovaný jev lze kvalitativně vysvětlit růstem poměru koncentrace, resp. afity zákalotvorných polyfenolů, vznikajících kyslíkem katalyzovanou kondenzací z jednoduchých flavanoidů, vůči koncentraci zákalotvorných bílkovin v souhlase s nedávnými poznatkami o mechanismu protein-polyfenolových interakcí v roztoku piva i modelových soustavách.

Získané výsledky rovněž naznačují, že tvorbu trvalých P-T koloidních zákalů lze v prvním přiblžení pravděpodobně popsat dvěma následnými nezvratnými reakcemi, přičemž rychlosť první z nich je určena konverzí jednoduchých flavanolů do zákalotvorně afinní podoby indikované křivkou kinetiky vývoje dopředného chladového zákalu a druhá je dána rychlosťí růstu hodnot chladového resp. trvalého nefelometrického zákalu za lag-fází.

I když dosud neplně objasněný molekulární mechanismus tvorby trvalých koloidních zákalů piva je podstatně složitější, lze navržený model kinetiky jejich tvorby na základě dvou následných nezvratných reakcí „nacejchovat“ pro konkrétní výrobní druhy piv uká-

zanými postupy a použít k zpřesnění předpovědi procesu koloidního stárnutí a pro komplexní optimalizaci technologií vedoucích k dosažení požadované fyzikálně-chemické, případně i chuťové stability finálního produktu. V neposlední řadě lze získané výsledky využít k získání dalších nových poznatků o tvorbě koloidních zákalů jak modelových soustav, tak i komerčních piv a meziproduktů.

Sladký, P. – Císařová, H. – Dienstbier, M. – Gabriel, P.: Development of Colloidal Hazes in Bottled Pale Lager Beer during Ageing. Kvasny Prum. **47**, 2001, No. 11-12, p. 322–327.

The haze development patterns of protein – polyphenol beer colloids has been simultaneously studied at nephelometric 90° angle and forward 15° angle of scattered light, directly on intact commercially bottled 12 grade pale lager beer samples at various thermal ageing conditions.

It has been discovered and proved that during the beer ageing process the size of protein – polyphenol chill haze particles is temporary growing over the one micrometer dimension and dissolves again with increasing ageing time as indicated by the appearance of temporary forward scattering haze maximum on the haze development pattern curve.

The observed effect can be explained qualitatively by the concentration growth of haze-active polyphenols, i.e. condensed flavanols in relation to the concentration of haze-active proteins. When the concentration of haze-active polyphenols reaches the equivalent concentration of haze-active proteins, the biggest haze particles are formed, thus scattering more light in forward direction. With increasing haze-active polyphenol concentration large chill haze particles are dissolved back to submicrometer size as indicated by the value of 90° nephelometric haze. The precipitation effect is supported by the

presence of ethanol and low temperatures.

Obtained results are suggesting that the process can be described in the first approximation by two simple irreversible subsequent kinetics. The time constant of the first one is governed by the rate of the conversion of simple flavanoids into haze-active form, indicated by the forward scattering chill haze curve and the second one is expressed by the rate of the conventional 90° nephelometric chill haze growth after the lag phase.

Although the molecular mechanisms of the beer permanent haze can not yet be elucidated by the results of the present work the suggested kinetic model can be used to fit or „calibrate“ the first stage of the colloidal ageing process of the particular beer brand and to improve the forecast of beer colloidal stability.

At least but not last, the obtained results will be useful for further studies of the colloidal and flavour ageing processes in commercial beer brands as well as in model systems.

Sladký, P. – Císařová, H. – Dienstbier, M. – Gabriel, P.: Entwicklung kolloider Trübungen bei hellen Lagerbieren während der Alterung. Kvasny Prum. **47**, 2001, Nr. 11-12, S. 322–327.

Erstmals, direkt in Flaschen, wurde systematisch die Entwicklung der P-T kolloiden Trübungen bei einem typischen, mittelfristig stabilisierten hellen 12° Lagerbier im Verlauf verschiedener thermisch-thermalen Regime der Alterung studiert, und zwar mit der Möglichkeit der direkten Verfolgung der Änderungen der Dimensionen der Trübungspartikel mit gleichzeitiger Messung in zwei Lichtstreuungswinkeln – dem konventionellen nephelometrischen (90°) und dem Vorwärtsstreuungswinkel (10–15°).

Es wurde entdeckt und bewiesen, dass im Verlauf der Bieralterung ein vorübergehendes Wachstum der P-T kolloiden Partikel der Kältetrübung von der Ausgangs-Submikroni-

mension in die Supramikrondimension zu stande kommt, wobei diese Erscheinung durch das Maximum der Kältetrübungswerte, in Vorwärtslichstreuung während der Bieralterung gemessen, indiziert ist.

Zur qualitativen Erklärung der beobachteten Erscheinung wird das Wachstum der Proportion der Konzervation bzw. Affinität der trübungsbildenden Polyphenole, die aus einfachen Flavanoiden in einer durch Sauerstoff katalysierten Kondensation entstehen, gegenüber den trübungsbildenden Eiweißstoffen und ihrer Konzentration erwähnt, und zwar im Einklang mit den letzten Erkenntnissen über den Mechanismus der Protein-Polyphenolreaktionen in Bierlösungen sowie auch in Modellsystemen.

Die erzielten Ergebnisse deuten auch an, dass die Bildung P-T kolloider Dauertrübungen in der ersten Annäherung wahrscheinlich durch zwei nacheinanderfolgende irreversible Reaktionen beschrieben werden können, wobei die Geschwindigkeit der ersten von ihnen durch die Konversion der einfachen Flavanole in die trübungsgebildende Afinform (indiziert durch die Kurve der Entwicklungskinetik der vorwärtsgerichteten Kältetrübung) bestimmt wird und die zweite durch die Geschwindigkeit des Wachstums der Werte der Kältetrübung bzw. der dauerhaften nephelometrischen Trübung nach der Lag-Phase gegeben ist.

Wenn auch der bisher nicht vollkommen aufgeklärte molekulare Mechanismus der Bildung dauerhafter kolloider Biertrübungen wesentlich komplizierter ist, kann das vorgeschlagene kinetische Modell ihrer Bildung aufgrund von zwei nachfolgenden irreversiblen Reaktionen mittels der beschriebenen Verfahren für die einzelnen Biersorten individualisiert resp. „eingeeicht“ werden, und zwar

zur Applikation für die Präzisierung der Voraussage der kolloiden Alterung und für die komplexe Optimalisierung der Technologien zur Erreichung der geforderten physikalisch-chemischen, bzw. auch Geschmacksstabilität des Endprodukts. Nicht in letzter Reihe können die erzielten Ergebnisse auch zur Gewinnung neuer Erkenntnisse über die Bildung kolloider Trübungen nicht nur in Modellsystemen sondern auch in kommerziellen Bieren und Zwischenprodukten appliziert werden.

Сладки, П.-Цисаржова, Г.-Диенстбиер, М.-Габриэл, П.: Образование коллоидной муты светлого пива лагерного типа в течение старения. Kvasny Prum. 47, 2001, No. 11–12, str. 322–327.

Впервые был прямо в бутылках исследован процесс P-T коллоидного помутнения типичного светлого пива лагерного типа средне стабилизированного (12°) при разных режимах теплового и температурного старения с возможностью прямого исследования изменений размеров частиц муты с одновременным измерением в двух углах рассеяния света – 90° и (10–15°).

Было обнаружено и доказано, что в течение старения пива происходит временное нарастание P-T коллоидных частиц холодной муты с исходящих частиц размером в порядке субмикронов на размеры сверхмикронов, определенных максимальными величинами холодной муты, измеряемыми углом 15° в течение старения пива.

Наблюдаемое явление можно квантиативно объяснить нарастанием отношения концентрации (или сродства) мутнодействующих полифенолов, возни-

кающих кислородом катализированной конденсацией из простых флаваноидов и концентрации мутнообразующих белков в соответствии с недавними сведениями о механизме протеин-полифеноловых интеракций в растворе пива и модельных системах.

Полученные результаты намекают, что образование постоянных P-T коллоидных мутей можно правдоподобно описать двумя последующими необратимыми реакциями, скорость первой из которых определена преобразованием простых флаванолов на мутнообразующую аффинную форму определенную кривой кинетики развития холодной муты измеряемой углом 15°. Скорость второй реакции определена скоростью роста величин холодной, или постоянной нефелометрической муты в течение lag-фазы.

Хотя до сих пор не вполне объясненный молекулярный механизм образования постоянных коллоидных мутей пива существенно сложнейший, можно предлагаемую кинетическую модель их образования на основе двух последующих необратимых реакций "градуировать" для конкретного производства пива указанным путем и использовать для уточнения прогноза процесса коллоидного старения и для комплексной оптимизации технологий, ведущих к достижению требуемой физико-химической, или вкусовой стабильности финального продукта. Полученные результаты можно также использовать для получения новых знаний о формировании коллоидной муты как модельных систем, так и изготавляемого пива и промежуточных продуктов.